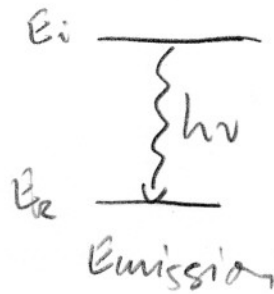


Fotomission und Absorption elektromagnetischer Strahlung durch Atome

Bohr'sches Atommodell: stationäre Zustände E_i, E_k



$$\text{falls } E_i - E_k = h\nu \quad (1)$$

(Energieerhaltung)

- Experimentell: - nicht jede gemäß (1) mögliche Emissions- oder Absorptionslinie sichtbar. \rightarrow Auswahlregeln (zusätzlich zu (1))
- sehr unterschiedliche Intensitäten für verschiedene Übergänge \rightarrow Berechnung der Übergangswahrscheinlichkeiten aus den Wellenfunktionen
 - Übergänge zwischen äußeren, schwach gebundenen ^{Sichtbar} Elektronen $\rightarrow \Delta E \sim eV \rightarrow$ infrarot bis ultraviolett (UV) angeregtes Elektron "Leuchtelektron"
 - inner, stark gebundene Elektronen \rightarrow größere Energien, Emission bis ins Röntgengebiet \rightarrow Strukturaufklärung
 - atomare Übergänge: keine streng monochromatische Strahlung, Spektrallinien mit Frequenzverteilung um eine Mittelfrequenz

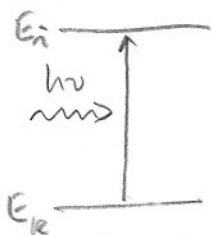
(7.1.) Übergangswahrscheinlichkeiten

Atom: Zustand bei Energie E_i, E_k

Strahlungsfeld: spektrale Energiedichte $w(\nu)$

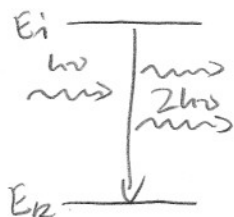
Photon: $h\nu, E_i = E_k + h\nu$

Absorption



$$W_{ki} = B_{ki} w(\nu) \quad (2)$$

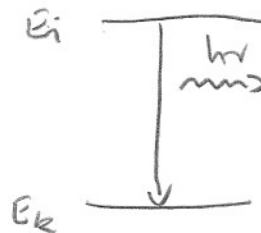
stimulierte Emission
induzierte Emission



$$W_{ik} = B_{ik}^{stimuliert} w(\nu) \quad (3)$$

emittiertes photon ist in derselben Eigenschwingung / Mode wie das induzierende photon \rightarrow fliegen in selbe Richtung, in phase

spontane Emission



$$W_{ik}^{spontan} = A_{ik} \quad (3)$$

- spontan, i.e. ohne äußeres Feld / Anregung
- beliebige Richtung
- hängt nur von Wellenfunktionen E_i, E_k ab, nicht aber vom Strahlungsfeld

W_{ki}, W_{ik} :

Übergangswahr. pro Zeiteinheit / Übergänge pro Sekunde

$w(\nu)$:

spektrale Energiedichte $w(\nu) = u(\nu) \cdot h\nu$

$u(\nu) = \# \text{ photonen pro Spektralintervall } \Delta\nu = 1 \text{ s}^{-1}$

B_{ki}, B_{ik}, A_{ik} :

Einstein-Koeffizienten für Absorption (B_{ki}), stimulierte Emission (B_{ik}) und spontane Emission (A_{ik})

wie groß sind diese Koeffizienten für gegebene Zustände i, k ?

Alternative Betrachtung der Einstein Koeffizienten

Spontane Emission; $W_{ik}^{\text{spont}} = A_{ik}$
Stimulierte Emission; $W_{ik}^{\text{stim}} = B_{ik} w(\nu)$
Absorption; $W_{ki} = B_{ki} w(\nu)$

N_i Atome in Zustand E_i

N_k Atome in Zustand E_k

Strahlungsfeld: $w(\nu)$

Stationäres Gleichgewicht: Zustandsbeschreibungen konstant, $\dot{N}_i = \dot{N}_k = 0$

→ Emissionsrate = Absorptionsrate

$$A_{ik} N_i + B_{ik} w(\nu) N_i = B_{ki} w(\nu) N_k \quad (4)$$

thermisches Gleichgewicht: $\frac{N_i}{N_k} = \frac{g_i}{g_k} e^{-\frac{(E_i - E_k)/kT}{h\nu}} \quad (5)$

g_i : Entartung des Zustandes, z.B. $2J+1$ für Zustand mit Gesamtdrehimpuls J

aus (4) folgt $A_{ik} = w(\nu) (-B_{ik} + B_{ki} \frac{N_k}{N_i})$

$$\Rightarrow w(\nu) = \frac{A_{ik}/B_{ik}}{\frac{B_{ki}}{B_{ik}} \frac{g_k}{g_i} e^{h\nu/kT} - 1} \quad (6)$$

vergleiche mit der spektralen Energiedichte des thermischen Strahlungsfeldes (Planck-Formel)

$$w(\nu) = \frac{8\pi h \nu^3 / c^3}{e^{h\nu/kT} - 1} \quad (7)$$


$$\Rightarrow B_{ik} = \frac{g_k}{g_i} B_{ki} \quad (8a)$$

$$A_{ik} = \frac{8\pi h \nu^3}{c^3} B_{ik} \quad (8b)$$

$$i) \frac{A_{ik}}{B_{ik}} = \frac{8\pi h \nu^3}{c^2} = \underbrace{\frac{8\pi \nu^2}{c^3}}_{\substack{\text{Moden} \\ \text{Dichte } (\nu)} } \underbrace{h\nu}_{\substack{\text{photon} \\ \text{energie}}} \rightarrow = 1 \cdot h\nu = W_f(\nu) = \text{Energiedichte mit 1 photon in Mode}$$

$$\frac{A_{ik}}{B_{ik} W_f(\nu)} = \frac{8\pi \nu^2}{c^3}$$

Spontane Emission = stimulierte Emission in alle Moden hinein bei einem Photon in der stimulierenden Mode.

(ix) 

$E \propto \sin\left(\frac{\pi n}{L} x\right) \rightarrow k\text{-Raum Dichte: } \frac{L^3}{\pi^3} \quad k = \frac{2\pi}{\lambda}$
 $n > 0$ alle $E(x,y)$

Moden zwischen k und $k+dk = \frac{4\pi k^2 dk}{\pi^2} \cdot \frac{1}{8} \cdot \frac{4}{3} \cdot \frac{1}{8}$ Dispersions: $v \cdot \lambda = v \frac{2\pi}{k} = c \rightarrow k = \frac{2\pi\nu}{c}$

$$= \frac{k^2 dk}{\pi^2}$$

$$= \frac{8\pi \nu^2}{c^3} d\nu$$

ii) für Strahlungsfeld mit n Photonen in einer Mode:

$$\frac{W_{ik}^{ind, Mode}}{W_{ik}^{spont, Mode}} = \frac{B_{ik} n h\nu}{A_{ik} \cdot \frac{8\pi \nu^2}{c^3}} = n$$

in einer gegebenen Mode mit n -Photonen:
 induzierte Emission = spontane Em. in dieselbe Mode $\times n$ (# Photonen)

iii) $\frac{W_{ik}^{ind}}{W_{ik}^{spont}} = \frac{B_{ik} W(\nu)_{Planck}}{A_{ik}} = \frac{1}{e^{h\nu/kT} - 1}$

im Kernodyn. Gleichgewicht, für $h\nu \gg kT$: Spontane Emission dominiert exponentiell (z.B. für α -Part. bei βT)
 für $h\nu \ll kT$: stimulierte Emission dominiert $\propto \frac{kT}{h\nu}$

Bemerkung Spontane Emission

grundlegende Erklrung: QED \rightarrow quantisierte EM Felder \rightarrow Vakuum hat Nullpunktschwingung
 z.B. fr E-Feld \rightarrow kann Emission stimulieren

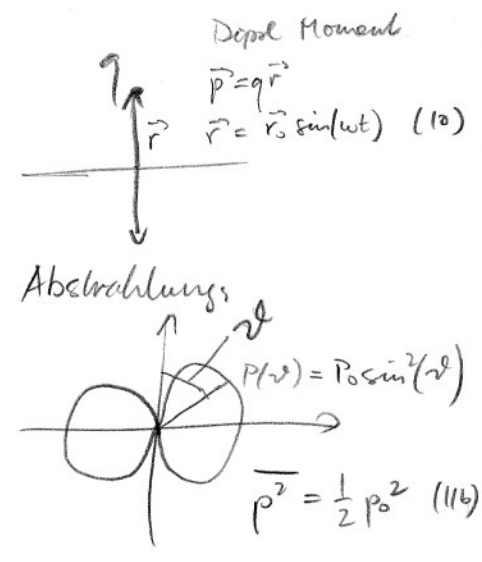
Dipolstrahlung

klassische Erzeugung Strahlung: Dipol

Abstrahlung über alle Winkel ϑ gemittelt:

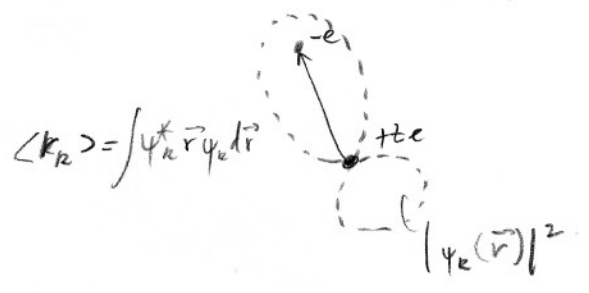
$$\overline{P} = \frac{2}{3} \frac{\overline{p^2} \omega^4}{4\pi\epsilon_0 c^3} \quad (11)$$

(Annahme $\lambda \gg |\vec{r}_0|$, Dipolnäherung)



Quantenmechanisch:

$\overline{p^2} \rightarrow \langle p^2 \rangle$
 ↑ ↑
 klassischer Mittelwert qm Erwartungswert des d. Dipolmomentes



$$\langle p \rangle = e \langle r \rangle = e \int d\vec{r} \psi_i^*(\vec{r}) \vec{r} \psi_k(\vec{r}) \quad (12)$$

$\psi_\alpha(\vec{r})$ Wellenfunktion zum Zustand mit Quantenzahlen $\alpha = (n_\alpha, l_\alpha, m_{l_\alpha}, m_{s_\alpha})$ ($\alpha = i$ und k) (z.B. H-Atom)

$\int d\vec{r}$ Integration über Raumkoordinaten Elektron
 $d\vec{r} = dx dy dz$ oder $dr = r^2 dr \sin\theta d\theta d\phi$
 hängt von i, k ab

(13) $\langle p \rangle = : M_{ik} = e \int d\vec{r} \psi_i^* \vec{r} \psi_k$

Matrixelemente "Übergangsmatrixelemente"
 wobei $M_{ik} = M_{ki}^*$
 $|M_{ik}| = |M_{ki}|$
 $\rightarrow B_{ik} = B_{ki}$

ersetze $\overline{p^2} = \frac{1}{2} (p_0)^2 \rightarrow 2 |M_{ik}|^2$ in (11)

$$\Rightarrow \overline{P} = \frac{4}{3} \frac{\omega_{ik}^4}{4\pi\epsilon_0 c^3} |M_{ik}|^2 = \text{mittlere Leistung / Atom} \quad (15)$$

gemäß Definition von A_{ik} ist mittlere emittierte Leistung = $A_{ik} h\nu_{ik}$ (16)

$$A_{ik} = \frac{2}{3} \frac{\omega_{ik}^3}{\epsilon_0 c^3 h} |M_{ik}|^2 \quad (17)$$

Einstein-Koeffizient Spontane Emission
 Übergangswahrscheinlichkeit pro Sekunde
 unabhängig vom Strahlungsfeld $w(\nu)$

quantenmechanische univariante Dipolübergangsmatrixelemente

(18) $H \hat{\psi} = \left(\frac{E_0}{2\omega} \cos(\omega t) \right) \psi = E_0 \psi$ stationäres Schrödinger Gl. / Eigenwertproblem

(19) $H \hat{\psi} \psi = -\frac{\hbar}{i} \frac{\partial \psi}{\partial t}$ zeitabhängige Schrödinger Gl.

Sei $H = H_0 + V'(x, t)$

Sei $H \psi_\alpha = E_\alpha \psi_\alpha$ und $\psi_\alpha = u_\alpha(x, y, z) e^{-\frac{i}{\hbar} E_\alpha t}$
 $\psi = c_\alpha \psi_\alpha + c_\beta \psi_\beta$

mit $V'(x, t)$: Störpotential

$H_0 = \frac{\hbar^2}{2m} \Delta + V(x)$ ungestörter Hamiltonian

$H \psi_\beta = E_\beta \psi_\beta$ ~~stationäre Situation~~
 $\psi_\beta = u_\beta(x, y, z) e^{-\frac{i}{\hbar} E_\beta t}$

ist auch Lsg von $H_0 \psi = -\frac{\hbar}{i} \frac{\partial \psi}{\partial t}$

mit $c_{\alpha, \beta}$ zeitunabhängig, aber nicht

mehr von $H \psi = -\frac{\hbar}{i} \frac{\partial \psi}{\partial t}$

finde Lsg., bzw Näherungslösung (\rightarrow Übergang) *
 mit Randbed. $c_\alpha = 1, c_\beta = 0$ @ $t=0$, \Rightarrow finde $c_\beta(t) \Rightarrow$ Dipolmatrix el.

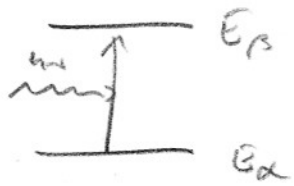
$\frac{dc_\beta}{dt} \approx +\frac{i}{\hbar} \left(\frac{E_0}{2} (E_\beta - E_\alpha) t \right) E_0 \cos(\omega t) M_{\beta\alpha}$ $\omega_{\beta\alpha} = \frac{E_\beta - E_\alpha}{\hbar}$

- ohne EM Wellen
- * unter Annahme: - nur \vec{E} -Feld betrachten (nicht \vec{B})
- \vec{E} Feld homogen ($\lambda \gg a_0$)
- ~~stationäre~~ Übergang von $\psi_\alpha \rightarrow \psi_\beta$ stationären Anfangszustand
- stationären Endzustand

$\frac{dc_\beta}{dt} = \frac{i}{2\hbar} E_0 M_{\beta\alpha} \left(e^{i(\omega_{\beta\alpha} + \omega)t} + e^{i(\omega_{\beta\alpha} - \omega)t} \right)$

$c_\beta(t) = \int_0^t \frac{dc_\beta}{dt} dt = \frac{E_0}{2\hbar} M_{\beta\alpha} \left\{ \frac{e^{i(\omega_{\beta\alpha} + \omega)t} - 1}{(\omega_{\beta\alpha} + \omega)} + \frac{e^{i(\omega_{\beta\alpha} - \omega)t} - 1}{\omega_{\beta\alpha} - \omega} \right\}$

Absorption



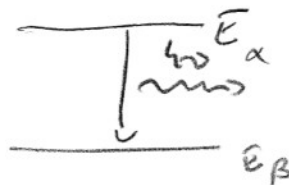
$\omega_{\beta\alpha} = \frac{E_\beta - E_\alpha}{\hbar} > 0$

$\rightarrow |\omega_{\beta\alpha} + \omega| \gg |\omega_{\beta\alpha} - \omega| = \Delta\omega$

$c_\beta(t) \sim \frac{E_0}{2\hbar} M_{\beta\alpha} \frac{e^{i(\omega_{\beta\alpha} - \omega)t} - 1}{\omega_{\beta\alpha} - \omega}$, calculate $c^* c$, use $(e^{-ix} - 1)(e^{-ix} - 1) = 2(1 - \cos x) = 4 \sin^2(\frac{x}{2})$

$|c_\beta(t)|^2 \sim \frac{E_0^2}{\hbar^2} |M_{\beta\alpha}|^2 \frac{\sin^2(\frac{1}{2} \Delta\omega t)}{(\Delta\omega)^2}$

Emission

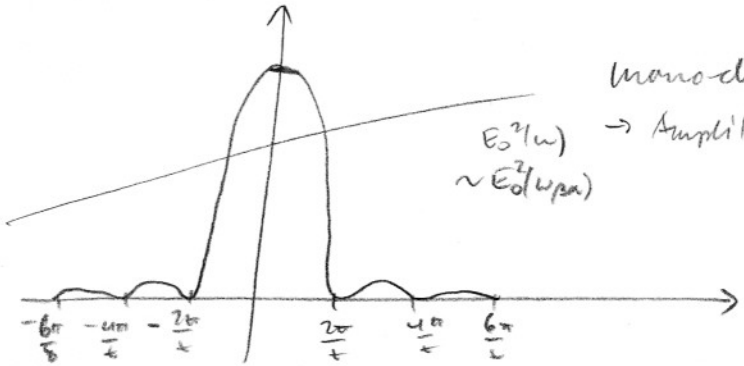


$$W_{\beta\alpha} = \frac{E_\alpha - E_\beta}{h} c_0,$$

$$|W_{\beta\alpha} - \omega| \gg |W_{\beta\alpha} + \omega| = |\Delta\omega|$$

dito Absorption, i.a. same $|c_\beta(t)|^2$

→ Absorption = Emission |Wahrscheinlichkeit



monochrom → Strömg ∝ lang eingeschaltet

$E_0^2(\omega) \rightarrow$ Amplitude gegen Null \rightarrow Zeit $t \rightarrow \infty$

$\sim E_0^2(\omega_{\beta\alpha})$

→ δ -peak

→ $\omega_{\beta\alpha} = \omega$

$h\omega = E_\beta - E_\alpha$

falls Licht kontinuierliches Spektrum: $E^2(\omega) \propto I(\omega)$

Integriere über ω , benutze $E_0^2(\omega) \sim E_0^2(\omega_{\beta\alpha})$, $d\omega = d\Delta\omega$

$$\int_{-\infty}^{\infty} d\omega \frac{E_0^2(\omega_{\beta\alpha}) |M_{\beta\alpha}|^2}{t^2} \frac{\sin^2(\frac{1}{2}\Delta\omega t)}{\Delta\omega^2}$$

$$= \frac{E_0^2(\omega_{\beta\alpha}) |M_{\beta\alpha}|^2}{t^2} \frac{t^2}{4} \int_{-\infty}^{\infty} \frac{\sin^2(\frac{1}{2}\Delta\omega t)}{\frac{1}{2}\Delta\omega t} d(\Delta\omega) \quad \frac{1}{2}\Delta\omega t = \xi, d\Delta\omega = \frac{2}{t} d\xi$$

$$= \frac{E_0^2(\omega_{\beta\alpha}) |M_{\beta\alpha}|^2}{t^2} 2t \underbrace{\int_{-\infty}^{\infty} \frac{\sin^2 \xi}{\xi^2} d\xi}_{\pi} = \frac{\pi E_0^2(\omega_{\beta\alpha}) |M_{\beta\alpha}|^2}{2t^2} t \rightarrow \text{lin. in } t$$

Wahrscheinlichkeit, Atom in ψ_β zu finden wächst linear mit Zeit

→ Übergangswahrscheinlichkeit pro sec. $W_{\alpha\beta} = |c_\beta(t)|^2 / t$

$$W_{\alpha\beta} = \frac{\pi E_0^2(\omega_{\beta\alpha}) |M_{\beta\alpha}|^2}{2t^2}$$

Herleitung Einstein Koeffizienten

thermisches Strahlungsfeld: inkohärent \rightarrow addiere Teilenergien / Übergangswahrsch.
für einzelne x, y, z Komponenten von \vec{E} .

polarisation $\parallel x$, fortbewegend $\parallel z$, $E_x = B_y$, E-dichte:

$$\frac{1}{8\pi} (E_x^2 + B_y^2) = \frac{1}{4\pi} E_x^2$$

$$w_x(\omega) d\omega = \frac{1}{4\pi} E_x^2(\omega) d\omega = \frac{1}{8\pi} E_{0x}^2 d\omega$$

$$E_x = E_0 \cos(\omega t)$$

$$\overline{E_x^2} = \frac{1}{2} E_0^2 \text{ zeitmittel}$$

aber im isotropen Feld:

$$w_x = w_y = w_z = \frac{1}{3} w \rightarrow E_{0x}^2 = E_{0y}^2 = E_{0z}^2 = \frac{8\pi}{3} w(\omega)$$

$$\begin{aligned} \rightarrow W_{\alpha\beta} &= W_{\alpha\beta}^x + W_{\alpha\beta}^y + W_{\alpha\beta}^z = \frac{4\pi^2}{3\hbar^2} \overbrace{|M_{\beta\alpha}|^2}^{B_{\beta\alpha}} w(\omega_{\beta\alpha}) \xrightarrow{\text{SI}} \frac{\pi}{3\epsilon_0 \hbar^2} |M_{\beta\alpha}|^2 w(\omega_{\beta\alpha}) \\ &= |M_{\beta\alpha}^x|^2 + |M_{\beta\alpha}^y|^2 + |M_{\beta\alpha}^z|^2 \end{aligned}$$

$$B_{\beta\alpha} = \frac{\pi}{3\epsilon_0 \hbar^2} |M_{\beta\alpha}|^2$$

benutze Aiz (17)

$$\frac{A_{\beta\alpha}}{B_{\beta\alpha}} = \frac{\hbar}{\pi^2 c^3 \hbar} \cdot \frac{B_{\beta\alpha} \hbar^2}{\hbar^2}$$

$$= \frac{\hbar^3}{\pi^2 c^3} = w(\omega) \rightarrow \frac{8\pi \hbar \omega^3}{c^3} \text{ dies vorher}$$

$$w(\omega) d\omega = \frac{\hbar \omega^3}{\pi^2 c^3} d\omega = \frac{8\pi \hbar \omega^3}{c^3} d\nu = w(\nu) d\nu$$